

07; 11

© 1990

ЭКЗОТЕРМИЧЕСКАЯ РЕАКЦИЯ В ИНТЕРФЕРЕНЦИОННОМ СВЕТОВОМ ПОЛЕ НА ПОВЕРХНОСТИ МЕТАЛЛА

Я.А. И м а с, М.Н. Л и б е н с о н,
В.А. Ш и р я е в

Исследование влияния макроскопических неоднородностей в каталитических системах на кинетику химических реакций представляет большой научный и практический интерес. Богатыми возможностями здесь обладает интерференционная методика, которая обеспечивает экспериментальное моделирование химической активности пространственно-периодического поверхностного источника энергии. При наличии нелинейностей, в частности экзотермического эффекта реакции, в системе могут возникать неустойчивости и диссипативные структуры. В настоящей работе проведено теоретическое исследование поведения такой системы при разрывной температурной функции химического источника тепла, что позволило получить аналитическое решение соответствующей задачи и проанализировать результаты, в том числе оценить возможности методики.

Предметом исследования служила следующая модельная ситуация. Два пучка непрерывного лазерного излучения создают на поверхности термически тонкой пластины (катализатора) интерференционную картину, интенсивность которой $q(x) = q_L(1 + \mu \cos kx)$. Здесь μ — глубина модуляции, $k = 2\pi L^{-1}$ — пространственная частота, L — полу-период (ширина полосы). Катализатор находится в условиях внешней конвекции с коэффициентом теплоотдачи α и температурой окружающей среды T_0 . Поглощательная способность металла считается постоянной (расчет ведется по поглощенному потоку).

Рассматриваемая система с учетом допущений, аналогичных введенным в [1], описывается одномерным уравнением теплопроводности с нелинейным химическим источником $q_{хим}$. Для каталитических процессов аррениусовского типа, например реакции окисления аммиака на платине, температурная зависимость скорости реакции может быть достаточно точно аппроксимирована кусочно-линейной функцией (см., например, [2]). Тогда

$$q_{хим} = q_x \theta(T - T_c), \quad (1)$$

где θ — функция Хевисайда, T_c — температура поджига, q_x — тепловой эффект реакции. Считая теплофизические процессы установившимися (что применительно к воздействию на материал непрерывного лазерного излучения вполне приемлемо), в итоге получим

следующее уравнение:

$$\lambda \frac{d^2 T}{dx^2} = -\frac{1}{d} \left[q_L (1 + \mu \cos kx) + q_x \theta (T - T_c) - 2\alpha (T - T_0) \right]. \quad (2)$$

Здесь λ - теплопроводность, d - толщина пластины.

В двух предельных случаях существует простое решение в виде

$$T(x) = \langle T \rangle + \delta T \cos kx. \quad (3)$$

В первом из них (низкотемпературном) для всех x $T(x) < T_c$. Если

ввести характерную тепловую длину $h = \sqrt{\lambda d (2\alpha)^{-1}}$, то

$$\langle T \rangle = \frac{q_L}{2\alpha} + T_0, \quad \delta T = \frac{q_L \mu}{2\alpha (1 + k^2 h^2)}. \quad (4)$$

Решение справедливо при малых интенсивностях света вплоть до граничной

$$q_{L1}^* = \frac{2\alpha (T_c - T_0)}{1 + \frac{\mu}{1 + k^2 h^2}}. \quad (5)$$

Другой предельный случай - высокотемпературный. Здесь для всех x $T(x) > T_c$. Тогда

$$\langle T \rangle = \frac{q_L + q_x}{2\alpha} + T_0. \quad (6)$$

Граничный режим:

$$q_{L2}^* = \frac{2\alpha (T_c - T_0) - q_x}{1 - \frac{\mu}{1 + k^2 h^2}}. \quad (7)$$

Однородное стационарное распределение (3) устанавливается, если

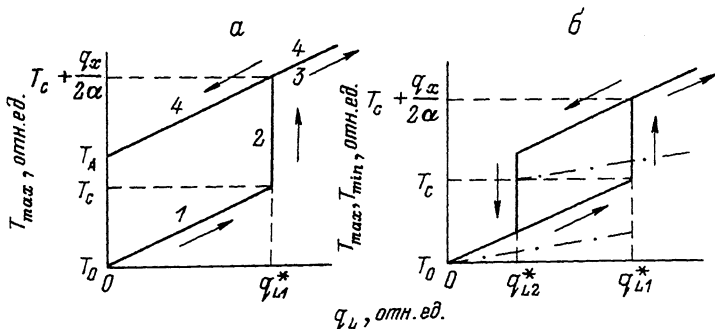
$$q_{L2}^* < q_{L1}^*. \quad (8)$$

Физически решение (3) с различными значениями $\langle T \rangle$, определяемыми формулами (4) и (6), отвечает условиям, когда граничная температура T_c либо не достигается нигде ($q_L < q_{L1}^*$), либо во всех точках ($q_L > q_{L2}^*$).

В противном случае ($q_{L1}^* < q_{L2}^*$), для области $q_{L2}^* > q_L > q_{L1}^*$ необходимо использовать общее решение уравнения (2), справедливое, когда экзотермической реакцией охвачен лишь интервал $[0, l]$ внутри полупериода интерференционного распределения интенсивности, на границе которого $T(l) = T_c$. В результате имеем:

а) $0 \leq x \leq l$

$$T(x) = \frac{q_L}{2\alpha} \left(1 + \frac{\mu \cos kx}{1 + k^2 h^2} \right) + \frac{q_x}{2\alpha} \left(1 - \frac{\text{sh} \frac{l-x}{h}}{\text{sh} \frac{l}{h}} \text{ch} \frac{x}{h} \right) + T_0, \quad (9)$$



Гистерезис в интерференционном световом поле. Зависимости T_{max} (сплошные линии) и T_{min} (штрих-пунктир) от q_L при: а) $q_x \geq 2\alpha(T_c - T_0)$
 б) $q_x < 2\alpha(T_c - T_0)$.

б) $L \leq x \leq L$

$$T(x) = \frac{q_L}{2\alpha} \left(1 + \frac{\mu \cos kx}{1 + k^2 h^2} \right) + \frac{q_x}{2\alpha} \operatorname{ch} \frac{L-x}{h} + T_0. \quad (10)$$

При этом величина l неизвестна, а условие $T(l) = T_c$ совместно с (9) или (10) позволяет свести ее определение к решению трансцендентного уравнения. Можно, однако, считать величину l заданной и из (10) найти соответствующую ей плотность светового потока:

$$q_L = \frac{2\alpha(T_c - T_0) - q_x \operatorname{ch} \frac{L-l}{h}}{1 + \frac{\mu \cos kx}{1 + k^2 h^2}}. \quad (11)$$

Оценки показывают, что в типичных условиях ($\alpha \sim 10^2 \text{ Вт}^1 \text{ м}^{-2} \text{ К}^{-1}$, $\lambda \sim 10^2 \text{ Вт}^1 \text{ м}^{-1} \text{ К}^{-1}$, $d \sim 10^{-5} \text{ м}$, $L \sim 10^{-5} \text{ м}$) $h \approx 7 \cdot 10^{-3} \text{ м}$, т.е.

$$h \gg L. \quad (12)$$

Поскольку h представляет собой размер фронта кондуктивного переноса тепла, выполнению неравенства (12) при реальных высоких значениях q_x отвечает полный охват пластины реакцией в высокотемпературном стационарном состоянии. Тогда будет справедливо условие (8), которое свидетельствует о наличии гистерезиса.

С ростом интенсивности излучения температура в максимуме интерференционного распределения ($x = 0$) изменяется следующим образом:

$$T_{max} = \frac{q_L}{2\alpha} \left(1 + \frac{\mu}{1 + k^2 h^2} \right) + \frac{q_x}{2\alpha} \theta(T_{max} - T_c) + T_0. \quad (13)$$

Соотношение (13) соответствует ломаная 1-2-3 на рис. 1, а со скачком при $q_L = q_{L1}^*$. Если теперь уменьшать q_L от значений, больших q_L^* , то можно выделить два частных случая.

При $q_x \geq 2\alpha(T_c - T_0)$ график (прямая 4 на рисунке, а) пересечет ось температур в точке $T_A = T_{max} = T_{min} = \frac{q_x}{2\alpha} > T_c$. Это означает, что реакция после поджига может продолжаться даже при выключенном интерференционном источнике.

В случае $q_x \geq 2\alpha(T_c - T_0)$ температурный гистерезис имеет место в диапазоне плотностей потоков $q_{L2}^* < q_L < q_{L1}^*$, как изображено на рис. 1, б.

Экспериментальное наблюдение гистерезиса в данной системе позволяет получить информацию о величинах, не поддающихся достаточно точной оценке (например, α и q_x), по легко измеримым граничным потокам q_{L1}^* и q_{L2}^* .

Если $q_{L2}^* > q_{L1}^*$, то гистерезиса быть не может и зависимости $T_{max}(q_L)$ и $T_{min}(q_L)$ однозначны при всех q_L . В этом случае в интервале интенсивностей

$$q_{L2}^* > q_L > q_{L1}^* \quad (14)$$

должны наблюдаться диссипативные структуры, т.к. распределение температуры пространственно неоднородно. Положение границы области реакции определяется неявным образом формулой (11). Однако не все значения входящих в нее параметров являются допустимыми. Из (14) можно получить ограничение на тепловой эффект реакции

$$q_x < \frac{4\mu\alpha(T_c - T_0)}{\mu + 1 + k^2 h^2}. \quad (15)$$

Для того, чтобы температурный профиль не сглаживался за счет теплопроводности, ширина полосы интерференционной картины должна удовлетворять неравенству

$$L > h. \quad (16)$$

Условия (14)-(16) определяют область изменения физических величин, который необходимо придерживаться для экспериментального получения неоднородных стационарных состояний. Пусть $T_c - T_0 = 200$ К, $\alpha = 10^2$ Вт¹м⁻²К⁻¹, $d = 10^{-5}$ м, $\mu = 1$, $\lambda = 74.1$ Вт¹м⁻¹К⁻¹. В этом случае $k = 1.93 \cdot 10^{-3}$ м, Для $L = 2 \cdot 10^{-3}$ м и $q_x = 2 \cdot 10^3$ Вт¹м⁻² граничные величины q_{L1}^* и q_{L2}^* равны $3.6 \cdot 10^4$ Вт¹м⁻² и $4.21 \cdot 10^4$ Вт¹м⁻² соответственно. Если $L = 0.5L$, то по формуле (11) имеет $q_L = 3.78 \cdot 10^4$ Вт¹м⁻². Полученное значение q_L удовлетворяет неравенству (14), следовательно задача о существовании диссипативных структур имеет решение.

Вышеописанный пример показывает, что проведенное в данной работе исследование исходной нелинейной модели позволяет опре-

делить в аналитической форме связь между существенными для эксперимента параметрами. Отметим также, что предложенная интерференционная методика – удобный способ моделирования порядка в каталитических системах, в том числе периодически расположенных на катализаторе зон различной активности, рассмотренных в [3].

С п и с о к л и т е р а т у р ы

- [1] В а р е л к о V.V., К у р о с х к а I.I., М е р г а н о в А.G., С к а д и н с к и и К.С. // Chemical engineering science. 1978. V. 33. N 7. P.805–811.
- [2] Б а р е л к о В.В. В сб.: Проблемы кинетики и катализа. М., 1981. Т. 18. С. 61–79.
- [3] Б а р е л к о В.В., П е ч а т н и к о в Е.Л. // Химическая физика. 1989. Т. 8. № 6. С. 816–826.

Поступило в Редакцию
28 ноября 1989 г.

Письма в ЖТФ, том 16, вып. 2 26 января 1990 г.

01

© 1990

ТЕОРИЯ ДИФРАКЦИОННЫХ РЕШЕТОК – ПРИБЛИЖЕНИЕ ГТД

Б.Е. К и н б е р, Б.Н. Л е в и н с к и й

Существующие теории дифракционных решеток [1] сводят определение поля рассеяния к расчету амплитуд плоских волн дифракционных порядков. Точность расчетов при $kd < 5-6$ (d – период решетки) вполне удовлетворяет потребности практики, но их трудно интерпретировать качественно, например определять зависимости порядков от геометрии решетки, длины волны, угла ее падения и т.д.

Для качественной интерпретации решений задач дифракции удобно использовать систему понятий геометрической оптики (ГО) и геометрической теории дифракции (ГТД). Цель заметки описать алгоритм решения задачи дифракции плоской волны на периодической решетке, использующий систему представлений ГО и ГТД, т.е. описывающий поле рассеяния в виде комбинации лучевых полей, образующихся в ячейках при падении первичного поля на решетку путем отражения и образования краевых волн.

В отличие от известных теорий [1] алгоритм ГТД [2] сводит задачу к решению не бесконечной, а конечной системы уравнений